

Intersection forms of 4-manifolds  
with homology 3-sphere boundaries

東大理 太田 啓史 (Hiroshi Ohta)

要旨 2-ホモロジー3球面を境界にもつある種の、滑らかな4次元多様体の交叉形式を決定する。これは、閉4次元多様体の場合の Donaldson の定理の拡張であるとともに、4次元の境界として3次元があらわれることから、3、4次元多様体の種々の不变量の相互関係を調べる為の1つのステージを与えていふとも思える。

<u>目次</u>	§1 序	4.2. gauge theory setting
	§2 提示	4.3. Donaldson の方法
	§3. 3、4次元多様体の 種々な不变量との関係	4.4. ends of moduli
	§4. 定理の証明	4.5. transversality argument
	4.1. reduction	4.6. 結び
		参考文献

## §1. 序、

1983～1986年の一連の S. K. Donaldson の仕事 ([2], [3], [4]) から話をす。  $Y$  を連結な可微分閉4次元多様体とする。以下二の条件は必ずしも必要ではないが、簡単のため、 $Y$  は单連結とする。 $b_2^+(Y)$  を、 $Y$  の交叉形式の正の固有値の個数とする。この時、次がなりたつ。

定理([2])  $b_2^+(Y) = 0$  ならば、 $Y$  の交叉形式は  $\mathbb{Z}$  上  $\begin{pmatrix} 1 & \cdot \\ \cdot & -1 \end{pmatrix}$  に同値。

定理([3], [4])  $Y$  は、spin 多様体とし、 $b_2^+(Y) = 1$  ならば、 $Y$  の交叉形式は、 $\mathbb{Z}$  上  $\begin{pmatrix} 0 & 1 \\ 1 & 0 \end{pmatrix}$  に同値。

定理([3], [4])  $Y$  は、spin 多様体とし、 $b_2^+(Y) = 2$  ならば、 $Y$  の交叉形式は、 $\mathbb{Z}$  上  $\begin{pmatrix} 0 & 1 \\ 1 & 0 \end{pmatrix} \oplus \begin{pmatrix} 0 & 1 \\ 1 & 0 \end{pmatrix}$  に同値。

ここで、 $Y$  が单連結 ( $H_1(Y, \mathbb{Z}) = 2\text{-torsion なし}, 2\text{-torsion あり}$ ) ならば、 $Y$  が spin であることと、 $Y$  の交叉形式が even type であることは同値である。

本稿の目的は、上の定理を境界付4次元多様体の場合に拡張することである。境界付4次元多様体と、閉多様体の場合とでは、色々異なる点がでてくる。まず、閉の時は、Poincaré duality により交叉形式は  $\mathbb{Z}$  上ユニモジュラーであるが、境界があると、ユニモジュラーとは限らない。しかし、境界（以下、境界成分は 1 とする）が  $\mathbb{Z}$ -ホモロジー 3 球面ならば、交叉形式は、 $\mathbb{Z}$  上ユニモジュラーとなる。以下、境界は、

$\mathbb{Z}$ -ホモロジー3球面とする。この下であっても、前の定理はそのままの形では拡張できない。

例 1.1 滑らかで单連結な4次元多様体  $X$ ; 境界が Poincaré ホモジー3球面  $\overline{\Sigma(2,3,5)}$  (一は、次の意味;  $\Sigma(2,3,5)$  は Brieskorn ホモロジー3球面  $\Sigma$ ); algebraic link と 12 canonical な向きが入っているが、一は、それとは逆の向きを表す)であり、交又形式が対角化不可能な正定値  $-E_8$  をあるものが存在する。(二つを  $1-E_8$  とかく)。

$X = \Sigma$ ; 境界条件として、ホモロジーより更に詳しい情報が必要となることを考へられる。それは  $\pi_1$  であると考える。

## §2. 提示

$X$  を单連結4次元多様体  $X$ ;  $\mathbb{Z}$ -ホモロジー3球面  $S$  を境界にもつものとする。主な結果は次である。

定理 1 ([14])  $X$  を上のような spin 多様体とする。この時、 $b_2^+(X) = 1$  且つ  $\text{Hom}(\pi_1(S), \text{SU}(2)) = \{1\}$  ならば、 $X$  の交又形式は  $\Sigma$  上  $\begin{pmatrix} 0 & 1 \\ 1 & 0 \end{pmatrix}$  に同値。

定理 2 ([14])  $X$  を上のような spin 多様体とする。この時、 $b_2^+(X) = 2$  且つ  $\text{Hom}(\pi_1(S), \text{SU}(2)) = \{1, 3\}$  ならば、 $X$  の交又形式は  $\Sigma$  上  $\begin{pmatrix} 0 & 1 \\ 1 & 0 \end{pmatrix} \oplus \begin{pmatrix} 0 & 1 \\ 1 & 0 \end{pmatrix}$  に同値。

注意 ① §1 の 1 番はじめの定理に相当するものは Taubes (=F) 証明された ([17])。即ち、 $X$  を单連結4次元多様体で、 $\mathbb{Z}$ -ホモロジー3球面を境界にもつものとする。この

時,  $b_2^+(X) = 0$  且つ,  $\text{Hom}(\pi_1(S), \text{SU}(2)) = \{1\}$  ならびに,  $X$  の交叉形式は  $\mathbb{Z}$  上  $\begin{pmatrix} -1 & * \\ * & -1 \end{pmatrix}$  に同値。

②境界条件  $\text{Hom}(\pi_1(S), \text{SU}(2)) = \{1\}$  は“一般には”おせない。上の Taubes 定理に於ては, 先の例 1.1 が反例を与える。実際に,  $\pi_1(\overline{\Sigma(2,3,5)})$  の  $\text{SU}(2)$  表現は自明表現をのぞいて頂度 2 ある。ちなみにも, ホモロジー 3-球面の基本群の  $\text{SU}(2)$  表現は自明表現をのぞくと“偶数個”(discrete でない時も, 適当な意味で数えることによる) であることが知られてる。( [18] ) また, 定理 1, 定理 2 に関する次の例がある。

例 2.1  $K$  を  $K3$  曲面とする。このとき,  $K$  は次の splitting をもつ。( [7] ).  $K = K_1 \cup_S K_2$  で,  $S$  は Brieskorn ホモロジー 3-球面  $\overline{\Sigma(2,3,7)}$  で,  $K_1$  の交叉形式  $= -E_8 \oplus \begin{pmatrix} 0 & 1 \\ 1 & 0 \end{pmatrix}$ ,  $K_2$  の交叉形式  $= -E_8 \oplus 2 \begin{pmatrix} 0 & 1 \\ 1 & 0 \end{pmatrix}$ 。一方  $\pi_1(\overline{\Sigma(2,3,7)})$  の  $\text{SU}(2)$  表現は自明表現を除いて 2 つある。( [6] )。

しかし,  $\text{Hom}(\pi_1(S), \text{SU}(2)) = \{1\}$  は、中でもうひとつが可能であると想われる。これに関することは多く述べられる。

定理 1, 定理 2 の応用として, 次がえられる。

系 1 (3 次元多様体への応用)。

$S$  をホモトピー 3-球面で, 単連結 spin 多様体  $X$  で  $b_2^+(X) = 1$  又は  $b_2^+(X) = 2$  な  $S$  のものをなめらかにバウンドするものとする。この時,  $S$  の Rohlin 不変量は自明。

## 系 2 (4次元多様体への応用)

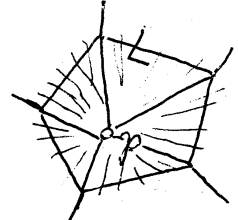
$X_n$  を单連結閉4次元位相多様体<sup>2)</sup>、交叉形式<sup>3)</sup>が、 $nE_8 \oplus (P_1^1)$  又は  $nE_8 \oplus 2(P_1^1)$  (但、 $n$  は任意の負整数) のものとする。この時、 $X_n$  は simplicial triangulation をもつた。

注意 ① 系 1 につづく。A. Casson は、彼の不变量 (Casson's 不变量) を導入することにより、任意のホモトピー3球面の Rohlin 不变量は自明であることを証明した ([1])。系 1 は、ある種のホモトピー3球面 (ホモトピー3球面がどれくらい存在するかわかつてない以上、二の表現は適切かどうかわからぬ) の Rohlin 不变量が自明であることを、Casson's 不变量をへずとも、Rohlin 不变量の定義より直接に示せることを主張する。

② 系 2 につづく。Freedman の分類定理 ([9]) より、上のような位相多様体  $X_n$  は、各  $n$  に対し、TOP カテゴリーにおいて一意に存在する。Casson によれば、(1985, unpublished, See [7]) 非自明な Kirby-Siebenmann 障害を持つ閉4次元位相多様体は、simplicial triangulation をもたない、という。系 2 における  $X_n$  の Kirby-Siebenmann 障害は  $n \pmod{2}$  で与えられる。つまり、 $n$  が偶数の時は、Kirby-Siebenmann 障害は自明だが、simplicial triangulation をもたない例となる。

系2の証明  $X$  が simplicial triangulation をもつたとするとそれは、有限個の頂点を除いて PL。この頂点は 1 つであるとしよ。この時、 $P$  の リンクはホモトピー球面になり、一方、 $X - p$  は PL やし、その PL-structure に沿って smoothing できる。すると、 $X - p$  は、なめらかな product end  $L \times R$  をもつ。これは、定理 1, 2 に反する。(□も参照)。□  
(smooth product end)

### §3. 3, 4 次元多様体の種々な不変量との関係。



定理 1, 2 の境界条件  $\text{Hom}(\pi_1(S), \text{SU}(2)) = \{1\}$  に関連して、3, 4 次元多様体の種々の不変量との関係について考えてみる。

まず、2-ホモロジー球面  $S$  の不変量からいくつかふり返す。

① Casson 不変量  $\lambda$ 。これは、 $\text{Hom}(\pi_1(S), \text{SU}(2))^*/_{\text{SU}(2) \text{共役}}$  の元の個数を“適当な意味で”数えたものとして定義される。ここで、\* は、自明表現 (= ただし一つの可約表現) を除くことを表す。“適当な意味で”とは、一般に表現空間  $\text{Hom}(\pi_1, \text{SU}(2))$  /  $\sim$  には離散的とは限らないので、直ちに摂動することにより、“生成元”を見つけ、それを符号付けて数えることによる。(詳しくは [1] 参照)。この  $\lambda$  は、Rohlin 不変量  $\mu$  の  $\mathbb{Z}_2$  へのもうあげであることが重要。 $\lambda(S) \equiv \mu(S) \pmod{2}$ 。

② Floer ホモロジー群  $FH_*(S)$ . (\* $\in \mathbb{Z}_8$ ) 詳しくは、  
 [8] を参照。ここで重要なことは、Floer ホモロジー群も、  
 $Hom(\pi_1(S), SU(2))_n$  を介して定義され、しかも Casson 不変量の  
 精密化となつてゐることである。実際、Taubes[18]によれば、  
 $\lambda(S) = \frac{1}{2} \sum_{i \in \mathbb{Z}_8} (-1)^i \text{rank } FH_i(S)$  である。

注意① Floer ホモロジー群の計算例。まず、Fintushel-Stern's  
 Brieskorn 3球面に因し、完全に計算法を求めたのが先駆となる([6])その後、一般の Seifert fibered 3球面については、まず、  
 [6] をうけつぐ形で、高倉 ([16])により、 $FH_{odd} = 0$  が示  
 された。更に吉田-Steer ([13])により、Seifert fibred 3  
 球面の Floer ホモロジー群の計算法が完全に確立された。また、  
 これらのアプローチとは全く異なる方法で、吉田 [20]により、  
 いくつかの Floer ホモロジー群が計算されてゐる。(例えば、8の  
 字 knot に沿う Dehn surgery でえられるホモロジー 3球面。)  
 ② Floer ホモロジー群の拡張。Z-Hoモロジー 3球面以外  
 に対しても、いくつかの Floer ホモロジー群の類似物が定義さ  
 れてゐる。まず、レンズ空間に因しては、吉田 ([12])により、  
 また、 $H_1$  に、torsion のない 3-manifolds に因しては、深谷  
 ([10]) により、えられてゐる。(いずれも記号としては、  
 $FH_*$  として書かれてしまう、といふのは冗談である。)

さて、この節では、以上の 3 次元の不変量 ( $\pi_1$  の情報の

モリニまれた)と4次元多様体の交叉形式という不变量が、どうのような関係にあるか、考えてみる。まず、次の興味深い現象が出发点となる。

定理(Fintushel-Stern, 福原-松本幸一坂本)[6], [11].

$a_1, \dots, a_n$  を  $2$  以上の自然数で、どの  $2$  つも互に素とする。 $\Sigma(a_1, \dots, a_n)$  を、Seifert fibred ホモロジー-3球面とし、 $V(a_1, a_2, \dots, a_n)$  を、それに対応する Milnor fibre とする。この時、

$$\lambda(\Sigma(a_1, \dots, a_n)) = \frac{1}{8} \operatorname{sign}(V(a_1, \dots, a_n))$$

がなりたつ。□.

Milnor fibre  $V(a_1, \dots, a_n)$  は、単連結なスピン4次元多様体で、 $\Sigma(a_1, \dots, a_n)$  を境界とするものである。

この定理は、(ある種の)ホモロジー-3球面の基本群の情報を、それをハンドするスピン多様体の  $H_2$  上に交叉形式と関係していえる、ことを教えてくれる。詳しく言うと、Casson 不変量が、交叉形式のうち、signature を子不変量に対応している。そこで、今我々は4次元多様体の交叉形式 자체を決定しようとしている。この時、次の代数的な事実に注意する。

定理(Hasse-Minkowski)([15]).

2)上の不定値ユニモジュラーな2次形式は、(1) type, (2) signature (3) rank の3つの不変量で分類される。

よって、我々の定理1,2の場合と、先の[F-M-S]の定理とを比較すると、typeはevenでfixした下で、我々はsignatureのみならず、rankまで決めなければならぬ。それには、境界条件として、Casson不変量よりも詳しい不変量が対応すると思われる、それは、Floerホモロジー群であろうと考える。

### 予想1(定理?) (Donaldson, Taubes, Floer, ...?)

Taubesの定理( $b_2^+(X)=0$ の場合、②注意①参照)において、境界条件、 $\text{Hom}(\pi_1(S), \text{SU}(2)) = \{1\}$ は、 $FH_1(S) = 0$ で“おさかえ”た“う”。

注意③ 向きを入れかえて、 $b_2^- = 0$ とすると、 $FH_4(S) = 0$ となる。

④ §1.例1.1において、 $|E_8| = \overline{\Sigma(2,3,5)}$ である。したがって、 $\overline{\Sigma(2,3,5)}$ のFloerホモロジー群は、[6]によつて求められてる；

$$FH_*(\overline{\Sigma(2,3,5)}) \cong \begin{cases} \mathbb{Z} & * = 1, 5 \\ 0 & \text{その他} \end{cases}$$

これは、予想1に矛盾しない。

更に、我々は、定理1,2に対しても予想をたてる。

### 予想2

定理1,2において、境界条件は、 $FH_*(S) = 0$ で“おさかえ”られる。但、 $* = 1, 5, \text{他 } (3 \text{ or } 7 \text{ を含む})$ のdegreeである。

注意⑤ 先の §2.例 2.1 にありて。[6]により、 $\overline{\Sigma(2,3,7)}$  の Floer 群は、

$$FH_*(\overline{\Sigma(2,3,7)}) \cong \begin{cases} \mathbb{Z} & * = 3, 17 \\ 0 & \text{その他。} \end{cases}$$

予想 2 が予想 1 より多くの Floer 群の vanishing が必要なのは、上の例からもわかるが、実際証明しようとすると、定理 1, 2 は、Taubes の定理にくらべ、高い次元の component のモビュラ空間を取り扱い、その ends をコントロールする為にいくつかの Floer 群の vanishing が必要だ"と思われる。

更に、定理 1 と定理 2 にて "vanishing の条件が異なり" であるとも考えられる。

さて、この予想は、Floer ホモロジー群が、Casson 不変量の精密化であるという立場からたどたるものであるから、当然の帰結として次のようなことが予想される。

予想の系  $\mathbb{Z}$ -ホモロジー 3 球面  $S$  で、 $\lambda(S) = 0$ かつ  $FH_*(S) \neq 0$  なるものが存在する。

これは、対角化不可能な不定値双曲形式をもつ单連結 4 次元多様体で、その境界  $S$  は  $\mathbb{Z}$ -ホモロジー 3 球面で  $\lambda(S) = 0$  なるもののが存在する。これによると。

注意⑥ 予想の系の別証。これは河内明夫先生より術指摘頂いた。それは、次の二つのことを用いることによる。

(1) Casson 不変量の和公式。  $\lambda(S_1 \# S_2) = \lambda(S_1) + \lambda(S_2)$

及び、  $\lambda(\bar{S}) = -\lambda(S)$ . (-は orientation reverse の意味)

(2) (吉田勝好先生の observation)

$$FH_*(S_1 \# S_2) \supset FH_*(S_1) \oplus FH_*(S_2) \quad (\text{direct sum})$$

今、  $S_1, S_2$  を 2 つの  $\mathbb{Z}$ -ホモロジー 3 球面で  $\lambda(S_1) = k_1, \lambda(S_2) = k_2$  とする。  $k_1, k_2 > 0$  としよ。このとき, Taubes は  $\neq 1$  (§3.② 参照)  $FH_*(S_1) \neq 0, FH_*(S_2) \neq 0$ . さて  $S = S_1 \# \underbrace{\cdots \# S_1}_{k_2 \text{ 個}} \# \overline{S_2} \# \cdots \# \overline{S_2}$  とすると、これは求めたホモロジー 3 球面である。実際、(1) から  $\lambda(S) = 0$ , (2) から  $FH_*(S) \supset FH_*(S_1) \oplus \cdots \oplus FH_*(S_1) \oplus FH_*(\overline{S_2}) \oplus \cdots \oplus FH_*(\overline{S_2}) \neq 0$ .

## §4. 定理の証明

ここでは、定理 1 の証明について述べる。定理 2 は同様の方法で証明できる。(§4 参照)。証明の方法は、荒く言えば、Donaldson の方法を open (product and  $\mathbb{C}P^1$ ) 4 次元多様体に拡充したものと、Taubes の解析 (インスタンション数 = 1) をインスタンション数 2 (or 3) に拡充したもの、の 2 つの組み合せによる。

### 4.1 reduction

いくつかの代数的な結果を用いることにより、定理の主張の reduction を行う。

まず、先にも述べた Hasse-Minkowski の分類定理より、任意の even, ユニモジュラー 不定値な以上の 2 次形式は、

$\cong \bigoplus_{\mathbb{Z}} n E_8 \oplus m \begin{pmatrix} 0 & 1 \\ 1 & 0 \end{pmatrix}$  for  $\exists n \in \mathbb{Z}$ ,  $\exists m \geq 0$  とかける。更に次の mod 2 reduction =  $\mathcal{F}'$ 、rank の評価式がある。

レンマ1(mod 2 reduction) [15] or [3].

$(\cdot, \cdot) : \mathbb{Z}^r \times \mathbb{Z}^r \rightarrow \mathbb{Z}$  を, even ユニモジュラー 2 次形式で rank が  $r$  なるものとする。この時, 次の同値がある,

$$r \leq 2 \iff Q_4(\alpha_1, \alpha_2, \alpha_3, \alpha_4)$$

$$:= (\alpha_1, \alpha_2) \cdot (\alpha_3, \alpha_4) + (\alpha_1, \alpha_3) \cdot (\alpha_2, \alpha_4) + (\alpha_1, \alpha_4) \cdot (\alpha_2, \alpha_3)$$

$$\equiv 0 \pmod{2} \quad \forall \alpha_i \in \mathbb{Z}^r$$

注意① この同値は, オリ高いランクに対するものも含む。例えば, 定理2では,  $r \leq 4 \iff Q_6(\alpha_1, \dots, \alpha_6) \equiv 0 \pmod{2}$  を用いる。

よって, 二のレンマより,  $Q_4(\alpha_1, \dots, \alpha_4) \equiv 0 \pmod{2}$  を言はず, 2 次形式は,  $\begin{pmatrix} 0 & 1 \\ 1 & 0 \end{pmatrix}$  に  $\mathbb{Z}$  上同値となる。

今, 2 次形式が,  $X$  の交叉形式

$$(\cdot, \cdot) : H_2(X, 2X; \mathbb{Z})/\text{Tors} \times H_2(X, 2X; \mathbb{Z})/\text{Tors} \rightarrow \mathbb{Z}$$

で与えられてる時,  $Q_4(\alpha_1, \dots, \alpha_4) \pmod{2}$  の幾何学的意味は次である。 $\alpha_i \in H_2(X, 2X; \mathbb{Z})$  ( $i=1, \dots, 4$ ) とする。 $\alpha_i$  を smooth に表現する曲面を  $\Sigma_i$  とする。 $2X \neq \emptyset$  ゆえ, 一般には  $2\Sigma_i \neq \emptyset$  であるが, 今,  $2X = S$  は  $\mathbb{Z}$ -ホモロジー 3 球面であることを  $S \in H_2(X, 2X; \mathbb{Z}) \cong H_2(X; \mathbb{Z}) \cong [X, \mathbb{CP}^\infty]$  により,  $2\Sigma_i = \emptyset$  である。

( $\Sigma_i$  の genus は十分大きい)。この時,  $Q_4(\Sigma_1, \dots, \Sigma_4) \pmod{2}$  は, 定義  $\mathcal{F}'$  。

レマ2  $Q_4([\Sigma_1], \dots, [\Sigma_4])$  は、曲面  $\Sigma_1, \dots, \Sigma_4$  の configuration number  $\equiv \text{mod } 2$  で等しい。ここで、 $\Sigma_1, \dots, \Sigma_4$  の configuration number とは、順序を考えない次のような点の組  $\{x_1, x_2\}$  の数のこと。 $x_1, x_2 \in X$ ,  $x_1 \in \Sigma_i \cap \Sigma_j$ ,  $x_2 \in \Sigma_k \cap \Sigma_\ell$ , 但し、 $(i, j, k, \ell)$  は、 $(1, 2, 3, 4)$  のある置換。

例

	$\Sigma_1$	$\Sigma_3$
$\Sigma_2$	a	b
	c	d
$\Sigma_4$	e	

左図のように  $\Sigma_1, \dots, \Sigma_4$  があるとするとき、configuration number は、  
 $\{a, d\}, \{a, e\}, \{c, b\} \vdash 3$ 。

以上より、示すべきことは、 $\forall x_i \in H_2(X; \mathbb{Z})$  を smooth に表現する、 $\sum_i \subset X$  ( $\exists \Sigma_i = \emptyset$ ) に対して、 $\Sigma_1, \dots, \Sigma_4$  の configuration number が偶数 ( $Q_4([\Sigma_1], \dots, [\Sigma_4]) \equiv 0 \pmod{2}$ ) であること。

#### 4.2 gauge theory setting

上のことを、gauge理論を用いて証明する。その枠組を Taubes [17] に従い準備する。 $M = X \cup_S S \times [0, \infty)$  とおく。 $S$  上に  $1 \rightarrow$  Riemann 計量を fix し、 $M$  上の計量として  $Eu(M) = S \times \mathbb{W}_{(N \gg 1)}$  上では、先に入れた  $S$  上の計量と  $\mathbb{W}$  上の標準的計量との product 計量に定まるものを  $1 \rightarrow$  fix する。更に  $\pi: M \rightarrow \mathbb{R}$  を smooth map で、 $X$  上 zero,  $S \times [1, \infty) \rightarrow [1, \infty)$  projection なるものと  $1 \rightarrow$  fix。  
 $P = M \times SU(2) \rightarrow M$  を自明な  $SU(2)$  主束とする。

$$E\mathcal{A}(P) := \{ P \text{ 上の connections } \pi^* \text{, End } M \text{ 上 }$$

これは、自明平坦接続に isomorphic }  $M = \overline{X} \cup_S \mathbb{W} \cup_1$

$A \in \mathcal{E}A(p)$  に付し,  $P(A)$  を

$$P(A) := -\frac{1}{8\pi^2} \int_M \text{tr}(F_A \wedge F_A)$$

で定義する。ここで  $\text{tr}(\cdot)$  は、標準的な表現で trace をとる。

このとき,  $M$  は非コンパクトだが,  $A \in \mathcal{E}A(p)$  かつ  $P(A)$  は有限値であることを well-defined。更に Chern-Weil 公式から,  $P(A) \in \mathbb{Z}$ 。(See [17])。

ここで  $P(A_0) = k \in \mathbb{Z}$  ならば  $A_0 \in \mathcal{E}A(p)$  を  $l \mapsto \text{fix}_l$ , 更に  $\delta > 0$  を fix。考える接続のクラスとして,

$$\mathcal{A}_k(\delta) := \{A_0 + a \mid a \in L_{2,\text{loc}}^2(\text{Ad}P \otimes T^*M), \|a\|_{A_0,\delta} < \infty\}$$

とする。ここで,  $\text{Ad}P$  は  $P \rightarrow M \cong \text{SU}(2)$  の adjoint 表現で同伴す  $\text{SU}(2)$  乗算で,

$$\|a\|_{A_0,\delta}^2 := \int_M e^{\tau\delta} \{ |\nabla_{A_0}^{(2)} a|^2 + |\nabla_{A_0} a|^2 + |a|^2 \}.$$

は、weight  $\delta$  の weighted Sobolev norm を表す。 $\mathcal{A}_k(\delta)$  は、この  $L^2$ -type Banach 多様体の構造をもつ。次に  $\text{U}(1)$ -群として,

$$\mathcal{U}_k(\delta) := \{g \in L_{3,\text{loc}}^2(\text{Aut}P) \mid \|\nabla_{A_0} g\|_{A_0,\delta} < \infty\}$$

とする。 $\mathcal{B}_k(\delta) := \mathcal{A}_k(\delta)/\mathcal{U}_k(\delta)$  は商位相を入れることには、可約接続の  $\text{U}(1)$ -軌道を除く, 残らかた Banach 多様体である。[17]によれば、 $\mathcal{B}_k(\delta)$  は、 $A_0 \in P_l^{-1}(\mathcal{E}A(p) \rightarrow k)$  の  $l$  方にのみよらず  $k$  に。勿論  $k=1$  は既存する。

\*を。Ad P-valued forms に作用する  $M$  上の Hodge star operator とする。 $F_+ := \frac{1}{2}(F + *F) : \mathcal{A}_k(\delta) \rightarrow L_{1,\text{loc}}^2(\text{Ad}P \otimes \Lambda^2 T^*M)$  を、 $\mathcal{A}_k(\delta)$  の元の曲率の self-dual part を与える写像とする時、

定義  $M_k(\delta) := H_1^{-1}(0)/g_k(\delta)$  とおって、これを、

$M$  上の anti-self dual 接続のモジュライ空間と呼ぶ。

$M_k(\delta)$  の interior structure に関するは、Taubes の結果 [17] が基本的である。それをまとめておく。

定理 4.2.1  $M$  が不定値又双形式をもつ時、ある  $\delta_1 > 0$  が存在し、任意の  $\delta, 0 < \delta < \delta_1$  と、 $M$  上の generic な計量に対し、 $M_k(\delta)$  は可約接続のゲージ軌道を含まない。

定理 4.2.2 ある  $\delta_2 > 0$  が存在し、任意の  $\delta, 0 < \delta < \delta_2$  と、 $M$  上の generic な計量に対し、 $M_k(\delta)$  は、

$$\dim M_k(\delta) = 8k - 3(1 - b_1(M) + b_2^+(M))$$

ある次元の有限次元 ( $\infty$ -多様体とする)。

定理 4.2.3  $k \geq b_2^+(M)$  ならば、 $M_k(\delta) \neq \emptyset$ 。

そこで、 $\delta > 0$  として、上の性質を満たすようにえらんでおく、それを漸近めて fix する。以下この  $\delta$  は省略してかく。我々が証明で用いるものは、 $M_2$  で今  $M$  は不定値故、 $M_2$  中には可約接続が含まれない。更に、

$$\dim M_2 = 8 \times 2 - 3(1 + 1) = 10.$$

### 4.3. Donaldson の方法

$\Sigma_i$  ( $i=1, \dots, 4$ ) を 4.1 でえらんだ  $X$  内の開リーマン面とする。

即ち、 $[\Sigma_i] = x_i \in H_2(X, \partial X; \mathbb{Z}) \cong H_2(X, \mathbb{Z})$ 。

$$\mathcal{A}_{\Sigma_i}^* := \{ P | \Sigma_i = \Sigma_i \times S^1 / \{2\} \rightarrow \Sigma_i \text{ 上の既約接続の全体} \}$$

$\mathcal{G}_{\Sigma_i} := P(\Sigma_i)$  の automorphism 全体のなす Lie-群。

$\mathcal{G}_{\Sigma_i, 0} := \Sigma_i$  上の一次基点  $x_0$  上の ファイバーを fix する automorphism  
のなす  $\mathcal{G}_{\Sigma_i}$  の 正規部分群。

とおく。 $\mathcal{G}_{\Sigma_i}$  は  $A_{\Sigma_i}^*$  に自由に作用しているが、 $\mathcal{G}_{\Sigma_i, 0}$  は、 $A_{\Sigma_i}^*$  に自由に作用する。

$$\mathcal{B}_{\Sigma_i}^* := A_{\Sigma_i}^*/\mathcal{G}_{\Sigma_i}, \quad \widetilde{\mathcal{B}}_{\Sigma_i}^* := A_{\Sigma_i}^*/\mathcal{G}_{\Sigma_i, 0}$$

とおく。この時、次の主アイン"レーション"がある。 $= = \mathbb{C}^{n+1}$

は、 $A \in A_{\Sigma_i}^*$  の isotropy 群に射影する。

$$SO(3) \cong SU(2)/\pm 1 \rightarrow \widetilde{\mathcal{B}}_{\Sigma_i}^* \longrightarrow \mathcal{B}_{\Sigma_i}^*$$

$\mathcal{B}_{\Sigma_i}^*$  上の  $\mathbb{C}$ -直線束  $\mathcal{L}_{\Sigma_i}$  を構成する:  $A \in A_{\Sigma_i}^*$  とする。 $\Sigma_i$  spin structure を (  $\rightarrow$  fix), その土 spinor 束を  $W_i, \pm \rightarrow \Sigma_i$  とする。  $P$  は 同伴する  $\Sigma_i$  上の  $\mathbb{C}^2$ -vector 束を  $E_i \rightarrow \Sigma_i$  とする。このとき、 $E_i$  は 倍数をもつ  $A$  で twist した Dirac 作用素  $D_{\Sigma_i, A}$

$$D_{\Sigma_i, A} : \Gamma(W_i \otimes_{\mathbb{C}} E_i) \longrightarrow \Gamma(W_i \otimes_{\mathbb{C}} E_i)$$

が定義され、これは elliptic 微分作用素で、Fredholm 作用素。

この determinant index を  $L_{\Sigma_i, A}$  とおく。

$$L_{\Sigma_i, A} := (\bigwedge^{\max} \ker D_{\Sigma_i, A})^* \otimes_{\mathbb{C}}^{\max} (\bigwedge^{\max} \text{Coker } D_{\Sigma_i, A}).$$

これから  $A \in A_{\Sigma_i}^*$  で "ラメトライズ" された  $\mathbb{C}$ -直線束

$$L_{\Sigma_i} \longrightarrow A_{\Sigma_i}^* \in K(A_{\Sigma_i}^*)$$

ができる。 $\mathcal{G}_{\Sigma_i, 0}$  は  $A_{\Sigma_i}^*$  に自由に作用するから、 $L_{\Sigma_i}$  は  $\widetilde{\mathcal{B}}_{\Sigma_i}^*$  上の bundle における。更に  $\mathbb{C}^{n+1}$  は  $\Sigma_i$  の ファイバーに自明に作用するとか、Atiyah-Singer family index 定理からわかる。以上で結局、 $L_{\Sigma_i}$  は

$\mathcal{B}_{\Sigma_i}^*$  上の  $\mathbb{C}$ -直線束にあらず。これを改め  $\mathcal{L}_{\Sigma_i} \rightarrow \mathcal{B}_{\Sigma_i}^*$  とかく。この時、Donaldson は、 $C(\mathcal{L}_{\Sigma_i})$  は、 $\alpha_i \in H_2(X; \mathbb{Z})$  の代表元  $\Sigma_i$  の “方” 及び  $\Sigma_i$  上のスピン構造のえらび “方” にはならぬことを示した。

次にこの直線束を、ある種の可約接続上にまで “拡張” することを考える。可約接続の軌道の近傍は cone の形をしていはずか、それはまで  $\mathcal{L}_{\Sigma_i}$  が “子” ための障害は、可約接続が degree 0 の reduction にたどりこむことである。（これから、可約接続の近傍での  $\mathcal{L}_{\Sigma_i}$  の自明化がえらばれ、それにより自明に  $\mathcal{L}_{\Sigma_i}$  が “せざる” つまり、 $\mathcal{L}_{\Sigma_i} \rightarrow \mathcal{B}_{\Sigma_i}^* \cup \{\text{degree 0 reductions on } \Sigma_i\}$  に “せざる” こと）  
 つまり、 $\mathcal{L}_{\Sigma_i} \rightarrow \mathcal{B}_{\Sigma_i}^* \cup \{\text{degree 0 reductions on } \Sigma_i\}$  に “せざる” ことは、 $\Sigma_i$  上の自明平坦接続は、degree 0 reduction たる可約接続であることを “示す”。  
 制限写像  $r_{\Sigma_i} : M_2 \rightarrow \mathcal{B}_{\Sigma_i}^* \cup \{\text{degree 0 reductions}\}$  ( $= \sharp$ )、  
 拡張された  $\mathcal{L}_{\Sigma_i}$  を  $r_{\Sigma_i}^* \mathcal{L}_{\Sigma_i} \rightarrow M_2$ 。 $\mathcal{L}_{\Sigma_i}$  の切断  $s_i$  ( $= \# L$ )、 $V_{\Sigma_i}(s_i) := (r_{\Sigma_i}^* s_i)^{-1}(0) \subset M_2$  とおく。この時  
 次の様な transversal な切断  $s_i$  が “される”。

### レシマ (transversality lemma) ([3], [5], [14])

- ① 各  $i = 1, \dots, l$  に對し、 $\mathcal{L}_{\Sigma_i} \rightarrow \mathcal{B}_{\Sigma_i}^* \cup \{\text{degree 0 reductions}\}$  の切断  $s_i$  で、その pull back 切断  $r_{\Sigma_i}^* s_i$  は、余次元 2 の submanifold  $V_{\Sigma_i} \cap M_2$  上 transverse に “消えず” ものが存在する。
- ② ①の切断は更に、全ての multiple intersection  $V_{\Sigma_1} \cap \dots \cap V_{\Sigma_l} \cap M_2$  が “transverse” たるようとする。

③. ①の切断は、 $\Sigma_i^{\infty}$  の自明平坦接続の近傍では消えない。  
 このレマの証明は、有限次元多様体  $M_2$  に対する Sand の定理  
 に基づく。又③は、自明平坦接続は  $\mathcal{B}_{\Sigma_i}^{\infty} \cup \{\text{degree 0 reductions}\}$  の  
 中で独立(1点)してなるから、常に満足しよう  $s_i$  が“それ”の  
 あるか、後の議論で本質的となる。切断  $s_i$  を以下のように選  
 ぶ。“さて”我々が欲しいモニュライ空間は、 $N_2 := M_2 \cap V_{\Sigma_1} \cap \dots \cap V_{\Sigma_4}$   
 (切断  $s_i$  は、レマの様にと、これまで何ともよいので注意を fix  
 したものとし、 $s_i$  は省略しておく) であり。次元は、transversality  
 により  $\dim N_2 = \dim M_2 - 2 \times 4 = 10 - 8 = 2$  である。

#### 4.4. Ends of moduli

開多様体上の anti-self dual 接続のモニュライ空間の ends は  
 ある、いくつかの点で“曲率が集中していくものから”、それは  
 いわゆる bubble theorem により記述された。しかし、開多様  
 体  $M = X \cup_S S \times [0, \infty)$  の場合には、 $M$  の end は曲率密度が  
 “逃げてゆく” 接続という新しいタイプの ends が現われてくる。  
 ここで、境界条件  $\text{Hom}(\pi_1(S), \text{SU}(2)) = \{1\}$  を本質的に用いるこ  
 とによう、この逃げてゆく接続が“たちのよい”性質をもつもの  
 (粒子のようなふざけます) であることを述べる。このことは、  
 後で gap theorem という形でまとめられる。即ち、 $M_2$  の ends  
 は、bubble theorem と gap theorem の 2 つにより記述される。

まず“bubble theorem”、これは基本的には local theorem 故、

次の形でまとめることができる。([1]も参照)

### 定理 (bubble theorem)

$M = X \cup_{S^1} S \times [0, \infty) \mathbb{P}^2$ ,  $P = M \times \text{SU}(2) \rightarrow M$  は以前の通りとする。

$M$  上の generic な  $C^m$ -1-マン計量に對し次が成立。 $\{[A_j]\} \subset M_k$  ( $k \geq 0$ ) とする。

(1)  $\exists A$ , anti-self dual 接続 on  $P$ ,  $0 \leq \exists \ell \in \mathbb{Z} \leq k$ ,

$\exists \{x_1, \dots, x_\alpha\} \in M$ , 有限個の  $M$  の点,  $\exists \{h_j\} \in C^\infty(\text{Aut } P|_{M - \{x_1, \dots, x_\alpha\}})$

$\exists \{A_j\}$ ;  $A_j$  の部分引 (index は新しく  $\ell$  より大きくなる  $j$  を表す),

such that  $\frac{1}{8\pi^2} \int_M |F_A|^2 = \ell$

$\{h_j^* A_j \rightarrow A\}$  on compact domains in  $M - \{x_1, \dots, x_\alpha\}$   
in  $C^m$ -topology.

(2)  $\text{Hom}(\pi_1(S), \text{SU}(2)) = 1$  の時, (1) における  $[A] \in M_\ell$  と  $\exists \{h_j\}$  がえらべる。

(3)  $\text{Hom}(\pi_1(S), \text{SU}(2)) = 1$  の時, もし,

$$\lim_{n \rightarrow \infty} \lim_{j \rightarrow \infty} \frac{1}{8\pi^2} \int_{T \geq n} |F_{A_j}|^2 = 0$$

ならば,  $\exists \delta_1 > 0$ ,  $\exists n < \infty$  で such that

$$\lim_{j \rightarrow \infty} \int_{T \geq n} e^{T\delta} \sum_{p=0}^m |\nabla_A^{(p)}(A - h_j^* A_j)|^2 = 0 \quad \text{for } \alpha < \delta < \delta_1$$

即ち,  $\|h_j^* A_j\|_{L^2(T)}$  上,  $h_j^* A_j \rightarrow A$ .

更に, 二の時,  $\ell = k \iff \{x_\alpha\} = \emptyset$  の時 特

$\exists h_j^* A_j \in M_k$  中で,  $\|h_j^* A_j\|_{L^2(T)}$  が収束する。□

注意 ①  $M$  上の generic な計量といつのは,  $\text{End } M$  で product

計量に存在するものの中で運動し得られた計量のことと, あるいは計量の中で運動したものではない。書き忘れたが, これは §4.2 に於いても同じである。

注意② (2)において,  $\text{Hom}(\pi_1(S), \text{SU}(2)) = \{1\}$  か本質的か否かは明らかでない。

注意③ (3)は, 進行方向が接続がない時, bubble theorem は  $k=2$  の場合のみ完全に記述されると言っている。

そこで, 次に向題となるのは,

$$\lim_{n \rightarrow \infty} \lim_{j \rightarrow \infty} \frac{1}{8\pi^2} \int_{T > n} |F_{A_j}|^2 \geq 0$$

を了時である。  $\text{Hom}(\pi_1(S), \text{SU}(2)) = 1$  を仮定する。

定理 (Gap theorem)  $\ell$  を  $0 \leq \ell < k$  を了整数とする。

$\{A_j\} \subset M_k$  とする。  $\ell \in \mathbb{C}$ ,

$$\lim_{n \rightarrow \infty} \lim_{j \rightarrow \infty} \frac{1}{8\pi^2} \int_{T > n} |F_{A_j}|^2 > \ell$$

ならば, 実は,

$$\lim_{n \rightarrow \infty} \lim_{j \rightarrow \infty} \frac{1}{8\pi^2} \int_{T > n} |F_{A_j}|^2 \geq \ell + 1. \quad \square$$

$[A_j] \in M_k$  とする,

$$\frac{1}{8\pi^2} \int_M |F_{A_j}|^2 = k$$

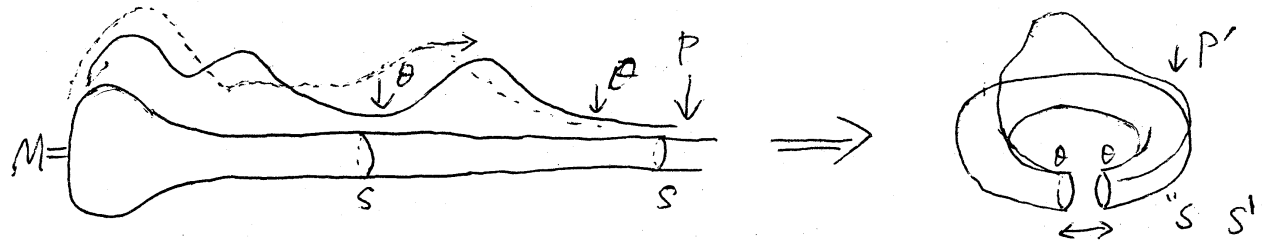
に注意すれば, 上の定理より直ちに,

$$\lim_{n \rightarrow \infty} \lim_{j \rightarrow \infty} \frac{1}{8\pi^2} \int_{T > n} |F_{A_j}|^2 = 0 \text{ or } 1 \text{ or } \cdots k-1 \text{ or } k.$$

が従う。

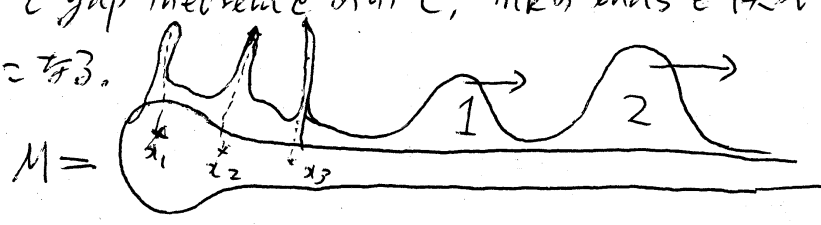
証明のキーとなるのは, Uhlenbeck の  $L^p$ -コンパクト性 [9] と,

Chern-Weil 公式である。荒く言えば、接続の列  $A_j$  が  $\text{End}(A)$  に  
逃げてゆくとき、曲率密度の「もと」と「ところ」は、小さくなれる。



より。 Uhlenbeck の  $L^p$ -boundedness 定理から、これは  $S$  上のある平坦接続に近づく。 $\chi = 3$  が  $\text{Hom}(\pi_1(S), \text{SU}(2)) = 1 \neq 0$ 、 $S$  上の平坦接続は自明なものしかない。 $\chi = 2$ 、今、この部分を上の右図のようにあわせ、bundle  $t$ 、接続  $(\tilde{\omega}, \tilde{\theta})$  も作りあわせる。こうしてえられた bundle  $P' \rightarrow S \times S^1$  は、やはりあわせる部分の自明化のちがい ( $\theta$  の固定化群  $\cong \text{SU}(2)$  の twist) によりねじれた  $\text{SU}(2)$  束となる。接続はやはりあわせたところを少し cut off する二点から、「ほとんど」 anti-self-dual なものとなる。よって Chern-Weil の公式から、新しくえられた接続の曲率の積分は  $C_2(P')$  に等しい。よってこの積分値は整数値で現われる。尚一般に  $\text{Hom}(\pi_1(S), \text{SU}(2)) \neq 1$  の時は、この積分値は小まと現われる平坦接続の Chern-Simons functional  $\int tr(\alpha \wedge \beta + \frac{2}{3}\alpha \wedge \alpha \wedge \alpha) d\alpha \wedge d\beta$  の差  $(\text{mod } \mathbb{Z}_2)$  に等しい。

以上 bubble theorem と gap theorem をあわせ、 $M_k$  の ends を模式的にかくと次のようになる。



$\forall \epsilon > 0$   $M_2$  の ends は次のよう + タイプに分類される。

$\{[A_j]\} \subset M_2$  とする。

$$\text{Case (1)} \quad \lim_{n \rightarrow \infty} \lim_{j \rightarrow \infty} \frac{1}{8\pi^2} \int_{\tau \geq n} |F_{A_j}|^2 = 2.$$

$$\text{Case (2)} \quad \lim_{n \rightarrow \infty} \lim_{j \rightarrow \infty} \frac{1}{8\pi^2} \int_{\tau \geq n} |F_{A_j}|^2 = 1.$$

$$\text{Case (2)-a} \quad \lim_{j \rightarrow \infty} \sup_{\tau \leq n} |F_{A_j}| < \infty \quad \text{for } \forall n < \infty \\ (\alpha = 0 \text{ または } \infty)$$

$$\text{Case (2)-b} \quad \lim_{j \rightarrow \infty} \sup_{\tau \leq n} |F_{A_j}| = \infty \quad \text{for } \exists n < \infty$$

$$\text{Case (3)} \quad \lim_{n \rightarrow \infty} \lim_{j \rightarrow \infty} \frac{1}{8\pi^2} \int_{\tau \geq n} |F_{A_j}|^2 = 0.$$

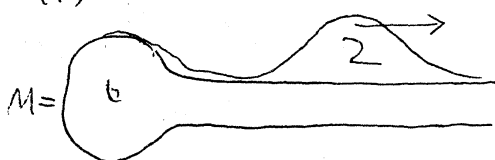
$$\text{Case (3)-a} \quad \lim_{j \rightarrow \infty} \sup_{\tau \leq n} |F_{A_j}| < \infty \quad \text{for } \forall n < \infty \\ (\alpha = 0 \text{ または } \infty)$$

$$\text{Case (3)-b} \quad \lim_{j \rightarrow \infty} \sup_{\tau \leq n} |F_{A_j}| = \infty \quad \text{for } \exists n < \infty$$

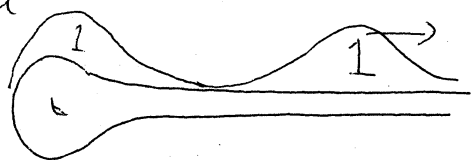
Case (3)-b-1 bubble theorem 1: 2, 2  $\alpha = 1$

Case (3)-b-2 bubble theorem 1: 2, 2  $\alpha = 2$

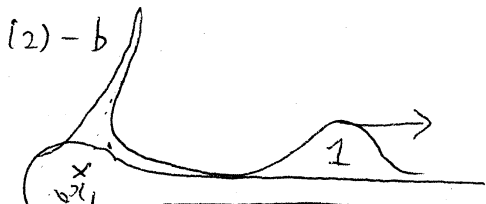
(1)



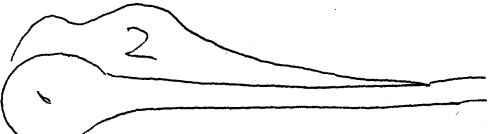
(2)-a



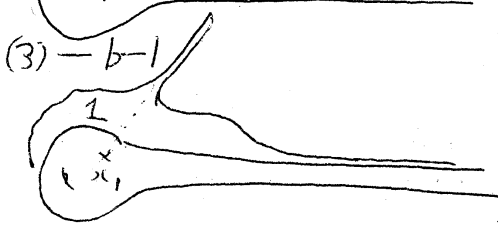
(2)-b



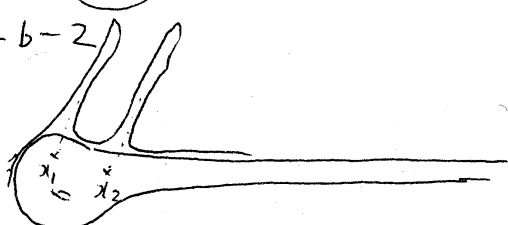
(3)-a



(3)-b-1



(3)-b-2



注意 bubble theorem (3) つまり, Case (3)-a の時  $[A_j]$  は  $M_2$  の中で  
ある  $[A] \in M_2$  に収束するので, これは実は end 2° ではない。ま  
た, Case (3)-b-2 では, 曲率の集中点  $x_1, x_2$  は重さなる 2  
点に至る場合もある。

#### 4.5 transversality argument

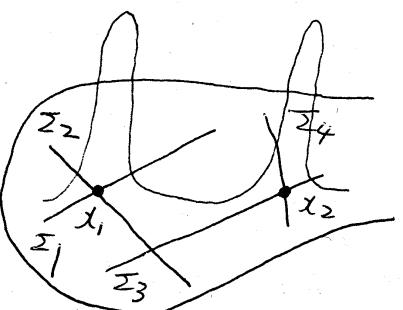
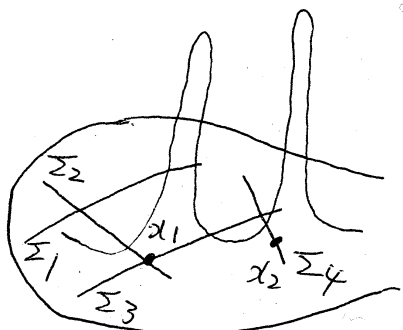
$M_2$  の ends のタイプは §4.4 のとくに記述された。ここで参考  
のには,  $N_2 = M_2 \cap V_{\Sigma_1} \cap \dots \cap V_{\Sigma_4}$  (§4.3) である。切断  $S_i$  ( $i=1, \dots, 4$ )  
をうまくえらんでおけば,  $M_2$  の ends のうちいくつかは  $N_2$  の  
ends には現われないようになさる, といふことを, §4.3 の trans-  
versality lemma を使って示す。

レニマ 1 直線束  $\mathcal{L}_{\Sigma_i} \rightarrow \mathcal{B}_{\Sigma_i}^* \cup \{\text{degree 0 reductions}\}$  の切断  $S_i$  で,  
 $N_2$  には, Case (1), (2)-a, (2)-b, (3)-b-1 のタイプの ends が現  
われないようになさる, ものが存在する。

レニマ 2  $S_i$  を レニマ 1 のようにならうとする。この時,  $N_2$  の ends は  
は, タイプ (3)-b-2 だけが現われるか, 曲率の集中点  $x_1, x_2$   
は,  $x_1 \in \Sigma_i \cap \Sigma_j$ ,  $x_2 \in \Sigma_k \cap \Sigma_l$  (但し,  $(i, j, k, l)$  は  $(1, 2, 3, 4)$  のあ  
る置換) でなければならぬ。

レニマ 1 を示すには, 11 中の dimension counting という方法、  
又, Uhlenbeck の  $L^p$ -boundness がポイントとなる。まず (1) の  
場合,  $X$  上では曲率が 0 に近くなつてゆくから,  $X$  上ある平  
坦接続に近づく。 $\pi_1(X) = 1$  とし, これは  $X$  上の自明平坦接続で

ある。これを各 surface  $\Sigma_i$  は制約 $\mathcal{P}_0$  とすと、 $\Sigma_i$  上自明平坦接続に近づく。しかし、transversality lemma (3) から、このようす接続は、 $V_{\Sigma_i}$  の中に入らない。すなはち  $N_2 = M_2 \cap V_{\Sigma_1} \cap \dots \cap V_{\Sigma_4}$  の中にあらわれない。次に dimension counting の方法で典型的なのは (3)-b-1、進げていく  $\text{ends}$  が“なし”の  $\mathcal{Z}$ 、これは bubble theorem で証明され、この  $\text{ends}$  は  $([A], x_i) \in M_1 \times M \subset \overline{M}_2$  に対応する。 $x_i$  は高々 2 つの surfaces ( $\Sigma_i, \Sigma_j$  とすと) 上にしかない。この時、transversality lemma から、 $\dim(M_1 \cap V_{\Sigma_i} \cap V_{\Sigma_j}) = 2 - 2 \times 2 = -2 < 0$ 。すなはち  $M_1 \cap V_{\Sigma_i} \cap V_{\Sigma_j} = \emptyset$ 。引いて、 $([A], x_i) \in M_1 \times M$  の  $\mathcal{Z}$  は  $N_2$  の  $\text{ends}$  には現われない。 (2)-a は進げていくものが“ある”か、これは 1-インスタンスと見ては同様に次元を数えることで  $N_2$  には現われないことがわかる。  
(2)-b は、次のレマン 2 の証明法と同様なのでレマン 2 についで述べる。 $\Sigma_1 \neq x_1, x_2$  とする。この時、 $\Sigma_1$  上では、接続は自明平坦接続に近づく。  
すなはち  $V_{\Sigma_1}$  には含まれない。故に、 $N_2 = M_2 \cap V_{\Sigma_1} \cap \dots \cap V_{\Sigma_4}$  にも含まれない。  
結局、各曲面  $\Sigma_1, \dots, \Sigma_4$  は曲率の集中点  $x_1, x_2$  を必ず一つは含まなければならぬ。なぜなら  $x_1, x_2$  とも直さず、 $x_1 \in \Sigma_i \cap \Sigma_j, x_2 \in \Sigma_k \cap \Sigma_\ell$  を意味する。



## 4.6 結び

前節より、 $N_2$ の ends の個数は、曲面  $\Sigma_1, \dots, \Sigma_4$  の configuration 数に等しい。よって、 $N_2$  の ends の個数が偶数個であることを示すとよい。まず " $N_2$  の ends の local な形状をしらべる。2 点  $x_1 \in \Sigma_1$ ,  $x_2 \in \Sigma_2$  に曲率が集中して 1 つ  $\text{end}$  を  $N(x,y)$  とかく。"  $N(x,y)$  の local な記述は、倉西の  $\text{[方3]}$  による。多様体  $M$  が "開いて" なくて、Taubes [17] によれば、generic な weight  $\delta$  をえらべば、deformation complex は、Fredholm complex 1 つだ。

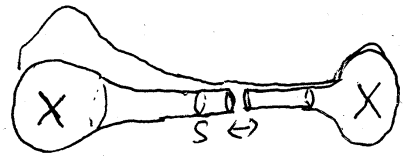
$$0 \rightarrow L_{k+2, \delta}^P \Omega^0(\text{AdP}) \xrightarrow{d_A^P} L_{k+1, \delta}^P \Omega^1(\text{AdP}) \xrightarrow{d_A^P} L_{k, \delta}^P \Omega^2(\text{AdP}) \rightarrow 0$$

開多様体上での Taubes によると Fredholm theory を用い、結局 bubble end  $N(x,y)$  の local な形は、開の時と同様に  $N(x,y) \cong L(x,y) \times \mathbb{R}_+$ , ( $L(x,y)$  は topological 1 =  $S^1$  の  $4 \times 1$ ) となる。これは最後に、次のようないものを構成すればよい。即ち、 $N_2$  上の  $\mathbb{R}$ -直線束  $\mathcal{L} \rightarrow N_2$  で  $\chi$  の 1-st Stiefel-Whitney 類を  $w_i(\mathcal{L})$  とする時、 $w_i(\mathcal{L})$  を  $N_2$  の各 end の "1 + 1"  $L(x,y)$  の値をとると常に  $w_i(\mathcal{L})(L(x,y)) = 1 \in \mathbb{Z}_2$  となるのを構成すればよい。実際にこの時、 $\widehat{N}_2$  を  $N_2$  の明瞭 truncation とすこと、 $\partial \widehat{N}_2 = \bigcup L(x,y)$ 。故に、 $0 = w_i(\mathcal{L})[\partial \widehat{N}_2] = \bigcup_{x,y} w_i(\mathcal{L})(L_{xy})$  がである。

閉の時、これは base の多様体  $M$  のスピン構造を用い、

これらを twisted Dirac 作用素の det index 束と定義されるが、今  $M$  が "開いて" と、Dirac 作用素は Fredholm でなければ index 束が定義

せんを引く。しかし、 $N_2$ は $\mathbb{H}^2 \times S^1$ の $\text{Ends}$ がないことから $N_2$ は  
ある閉スピン多様体上の $C_2 = 2$ を $SU(2)$ 束上  
の接続(anti-self-dualではない)のモードライ空  
間の中にdiffeomorphicに埋め込まれる。(右図参照)。 $\gamma$ は $\mathbb{H}^2$ 先の因の  
場合の議論を行えば、所要の元が構成される。



### References

1. S. Akbulut and J. McCarthy, Casson's invariant for oriented homology 3-spheres — an exposition, preprint (1986)
2. S. K. Donaldson, An application of gauge theory to the topology of 4-manifolds, J. D. G. 18 (1983), 279–315
3. —————, Connections, cohomology and the intersection forms of 4-manifolds, J. D. G. 24 (1986), 275–341.
4. —————, The orientation of Yang-Mills moduli spaces and four-manifold topology, J. D. G. 26 (1987), 397–428.
5. —————, Polynomial invariants for smooth four-manifolds to appear in Topology.
6. R. Fintushel and R. Stern, Instanton homology of Seifert-fibred homology three spheres, to appear in Proc. London. Math. Soc.
7. —————, Homotopy K3 surfaces containing  $\Sigma(2,3,7)$ , preprint.
8. A. Floer, An instanton invariant for 3-manifolds, Comm. Math. Phys. 118, (1988) 215–240.

9. M. H. Freedman, The topology of four-dimensional manifolds, J. D. G. 17 (1982), 357-453.
10. K. Fukaya, Instanton homology for oriented 3-manifolds. preprint (1989).
11. S. Fukuhara, Y. Matsumoto, K. Sakamoto, Casson's invariant of Seifert homology 3-spheres. (1988) Preprint.
12. M. Furuta, An analogue of Floer homology group for lens spaces, Preprint. (1988)
13. M. Furuta and B. Steer, Seifert fibred homology 3-spheres and the Yang-Mills equations on Riemann Surfaces with marked points. preprint.
14. H. Ohta, Intersection forms of 4-manifolds with a homology 3-sphere boundary. Preprint. (1989)
15. J.P. Serre, Cours d'arithmétique, Press. Univ. de France, Paris (1970)
16. T. Takakura, Seifert fibered homology 3-sphere の基本群の表現空間と Morse theory. 東京大学修士論文 (1989).
17. C. H. Taubes, Gauge theory on asymptotically periodic 4-manifolds. J. D. G. 25 (1987), 363-430.
18. ——, Casson's invariant and gauge theory. Preprint.
19. K. K. Uhlenbeck, Connections with  $L^p$ -bounds on curvature, C. M. P. 83 (1982)
20. T. Yashida, Floer homology and splitting of manifolds. Preprint.

1990, 2, 8.